

İNSAN SERVİKAL KARSİNOMA HÜCRE DİZİSİNDE NİTRİK OKSİT İLE YÖNLENDİRİLEN HÜCRE ÖLÜMÜ ÜZERİNDE HİDROJEN PEROKSİDİN ETKİSİ

Effects of Hydrogen Peroxide on Nitric Oxide Mediated Cellular Death in Human Cervical Carcinoma Cell Line

Yasemin BASKIN¹, Nur OLGUN²

¹Refik Saydam Hıfzıssıhha
Merkezi Başkanlığı,
İzmir Bölge Hıfzıssıhha
Enstitüsü Müdürlüğü,
İZMİR

²Dokuz Eylül Üniversitesi,
Onkoloji Enstitüsü,
İZMİR

ÖZET

Amaç: Nitrik oksit (NO) ve reaktif oksijen türleri (ROT) gibi organ mikroçevre faktörleri ve onların apoptoz ile etkileşimleri, normal hücrelerin ve kanser hücrelerinin davranışlarını etkileyebilir. Bu olasılık sağaltım stratejileri için yeni hedefler sağlayabilir. NO'nın tümör hücresinin yaşamını sürdürmesi, redoks homeostazı; tümör hücrelerinin genetik ve epigenetik yapılanması gibi olaylarda rolü bulunmaktadır. Bu çalışmada NO'nın yönlendirdiği hücre ölümünde ROT'un [Hidrojen peroksit (H_2O_2) ile taklit edilmiş] etkileri araştırılmıştır.

Yöntem: İnsan servikal karsinoma hücre dizisi (HeLa); Dulbecco's Minimum Essential Medium (DMEM) ile üretilmiştir. Hücrenin yaşamı ve proliferasyonları, niceleyici kolorimetrik bir 3 (4,5 dimetiltiyazol- 2 il)-2,5- difenil tetrazolium bromid (MTT) deneyi ile taramıştır. DNA'ya bağlanan boyal Hoechst 33342 (HOE 33342) ve propidium iyonid (PI), nükleer morfoloji ve membran bütünlüğünün kantifikasiyonu ve mikroskopik identifikasiyonu için ayırt edici boyal çalışması olarak kullanılmıştır.

Bulgular: HeLa hücreleri yalnızca L-arjinin (NO uyarıcısı) ile uyarıldığında (NO grubu) % 66±9.2 hücre ölmüş ve ölen bu hücrelerin % 51±7.3'ü "apoptotik yolak"tan geçerek olmuştur. NO, H_2O_2 varlığında (peroksi nitrit grubu) uyarıldığına daha fazla hücre ölmüş (% 98.3±1.7) ve bu ölümler "nekrotik yolak"tan geçerek olmuştur (% 69.3±5.7). Hücreler H_2O_2 ile uyarıldığında (peroksit grubu) bütün hücreler ölmüş (% 99.3±4.1) ve hücresel ölüm "nekrotik yolak" üzerinden olmuştur (% 85±6.9).

Sonuç: HeLa hücrelerinde L-arjinin (L-arg) ve H_2O_2 'nin hücresel ölümü belirgin olarak, fakat farklı yolaklardan giderek arttırdıkları görülmüştür. Ancak birlikte kullanıldıklarında, H_2O_2 'nin, L-arg'in yarattığı hücresel ölümü "apoptotik yolak"tan, "nekrotik yolak"a çevirdiği gözlemlenmiştir.

Anahtar sözcükler: Nitrik oksit, hidrojen peroksit, kanser mikroçevresi, apoptoz, nekroz, servikal karsinoma hücre dizisi.

ABSTRACT

Objective: Organ microenvironment factors such as nitric oxide (NO) and reactive oxygen species (ROS), and their interactions with apoptosis may influence the behavior of normal and cancer cells. This possibility may provide new targets for therapy strategies. The effect of NO on tumor cell survival is influenced by multiple factors, including the levels of redox homeostasis, and genetic and epigenetic make up of tumor cells. The effects of ROS [mimicked by hydrogen peroxide(H_2O_2)] on NO-mediated cellular death were examined in this study.

Method: Human cervical carcinoma cell line (HeLa) was grown using Dulbecco's Minimum Essential Medium (DMEM). Cell survival and proliferations were determined by a quantitative colorimetric MTT assay. The DNA binding dye Hoechst 33342 and propidium iodide (HOE/PI) were

used together in a differential dye uptake assay for microscopic identification and quantification of membrane integrity and nuclear morphology.

Results: When HeLa cells were induced by L-arginine (NO inducer) alone (nitric oxide group), $66 \pm 9.2\%$ of cells died, and of these cells $51 \pm 7.3\%$ died through an "apoptotic pathway". We found that when NO was induced in the presence of H_2O_2 (peroxynitrite group), more cells died ($98.3 \pm 1.7\%$) through a "necrotic pathway" ($69.3 \pm 5.7\%$). When cells were induced by hydrogen peroxide (peroxide group) all cells died ($99.3 \pm 4.1\%$) and cellular death was through a "necrotic pathway" ($85 \pm 6.9\%$).

Conclusion: In HeLa cells L-arginine (L-arg) and H_2O_2 significantly increased cellular death but in distinct pathways. But when treated together the presence of H_2O_2 shifted cellular death caused by L-arg from apoptotic pathway to necrotic pathway.

Key words: Nitric oxide, hydrogen peroxide, cancer microenvironment, apoptosis, necrosis, cervical carcinoma cell line.

GİRİŞ

Apopitoz, nekroz ile ölen hücrelerin yaptığı tersine (şişip, daha sonra eriyip, içeriklerini hücreler arası ortama bırakırlar) DNA parçalanması, kaspazın etkin hale gelmesi, mitokondriyal zar bütünlüğünün bozulması gibi özgün morfolojik ve biyokimyasal özellikler ile kendini gösterir (1). Fas ligant, staurosporin (SS) (protein kinaz c inhibitörü), radyasyon veya nitrik oksit (NO) gibi birçok uyarı şekli apoptoza gitmekte kaspaz zincirini uyarabilir (2).

NO, birçok hücre çeşidinde nitrik oksit sentaz enzimi yardımı ile (NOS), L-arg'in guanido azotu ve moleküler oksijenden üretilmektedir (3). Mikroçevreye bağlı olarak NO, nitrosonium katyonu, nitroksil anyonu veya peroksinitrit gibi reaktif azot türlerine (RAT) çevrilebilir (3, 4).

Süperoksit ile NO'nun tepkimesi, son derecede reaktif oksidan bir tür olan, peroksinitrit oluşumu ile sonuçlanır. Peroksinitritin in vivo oluşumunun hücre ölümünü gösterdiği düşünülmüştür (5). NO'nun kimyasının süperoksit ve peroksinitrit ile etkileşimi sonucunda, NO'nun DNA hasarı, protein tiyollerin değişimi veya solunum zincirindeki ve Krebs Döngüsü'ndeki mitokondriyal enzimlerin inaktivasyonu gibi toksik etkileri ortaya çıkabilir. Bütün bu tepkimeleler NO tarafından uyarılan apoptoza bağlanabilir (6-8).

Apoptozun NO donörleri tarafından uyarılması, endojen NO'dan daha etkindir. Birçok hücre NO donörlerine farklı yanıtlar verir ve yine farklı donörler hücre ölümünü uyarırken farklı kinetikler gösterirler (9). Diğer taraftan farklı RAT'ların sinyal transduksiyonunda ve gen ekspresyonunda farklılıklara neden olduğu düşünülmektedir. Farklı RAT'lar aynı proteinin işlevsel etkisini arttırabilir veya başka bir işleve değiştirebilir (6, 9).

Bu çalışmanın amacı, kanser tedavisine benzer koşullar için SS ile apoptoz uyarılmış servikal karsinoma hücrelerinde, mikroçevre koşulları üzerinde NO-H₂O₂ etkileşiminin in vitro etkilerini gözlemektir.

GEREÇ VE YÖNTEM

Hücreler ve Deneysel Uygulamalar

Deneyleerde insan servikal karsinoma (HeLa) hücre dizisi kullanılmıştır (Ankara Üniversitesi, Veteriner Fakültesi'nden Aykut Özkul'un armağanıdır). Hücre dizisi Dulbecco'nun Modifiye Eagle Medyumu'nda (DMEM, Sigma), % 5 fetal sığır serumunda (FBS) (Biochrome KG) ve % 1 penisilin/streptomisin (PS) (Biochrome KG) ile canlandırılmıştır. Hücreler 37 °C'de, % 5 CO₂ ve %95 nem ortamında canlı tutulmuştur.

HeLa hücreleri, aşağıdaki mikroçevre ajanlarının seri sulandırımları ile farklı grplarda karşılaştırılmışlardır:

- 1.NO donörü olarak L-arg (0.02 mM-2.00 mM)
- 2.Geri dönüşlü bir NO inhibitörü olarak N(omega)-Nitro-L-arjinin metil ester (L-NAME) (0.004 mM-0.5 mM)
- 3.Protein kinaz inhibitörü staurosporin (SS), apoptoz uyarıcısı olarak (0.02 mM-3.0mM)
- 4.Reaktif oksijen türü üreticisi olarak H₂O₂ (0.004 mM-0.5 mM).

Tüm kimyasallar Sigma'dan temin edilmiştir.

Sitotoksosite Deneyi

HeLa hücreleri, % 2' lik FBS'li DMEM içinde, 1x10⁴ yoğunlukta olacak şekilde 96 gözlü mikrotitre plağına dağıtılmıştır. Tüm deney grupları üçer kuyucukta gerçekleştirilmiş ve en az üçer kez de yinelenmiştir. Hücrelere, çoğalmaya başladıkten sonraki ilk günden itibaren, belirlenen uyarıcılar 24 saat uygulanmıştır. Hücrelerin yaşaması ve proliferasyonları kantitatif kolorimetrik MTT deneyi ile (Chemicon International) değerlendirilmiştir. MTT (3 (4,5 dimetiltiyazol- 2 il)-2,5- difenil tetrazolium bromid), canlı hücrenin mitokondriyal süksinat dehidrogenaz ile koyu mavi bir formazan ürün verdiği, soluk sarı renkte bir substrattır. MTT stok solüsyonu (5 mg/mL) 100µL olarak kuyucuklara dağıtılmış ve 37°C'de 4 saat bekletilmiştir. Sürenin sonunda MTT alınmış ve 0.04 N HCl 100µL olarak kuyucuklara dağıtılmıştır. Absorbanslar 540 nm test dalga boyu ve 620 nm

ikincil dalga boyunda okutulmuştur. Uyarılmamış hücrelerden elde edilen değerler % 100 kabul edilmiştir. Hücre yaşamının yüzdesi aşağıdaki gibi hesaplanmıştır:

$$P = [(A) \text{ uyarılmış hücrelerde} / (A) \text{ kontrol hücrelerinde}] \times 100.$$

Apoptoz ve hücre ölümünün morfolojik olarak değerlendirilmesi

Hücre ölümünün değerlendirilmesi ve kantiyatyonu klasik morfolojik kriterler ve aynı zamanda işlevsel vital boyalar kullanılarak yapılmıştır. Hoechst 33342 (HOE 33342, bisbenzimid H 33342, Sigma), çift sarmallı DNA'nın AT'den zengin bölgelerine özgü bir boyadır. Bu yöntem, hücre membranlarının bu iki boyaya geçirgenlikleri arasındaki farklılıklar esas alınarak kurgulanmıştır. Ölüm hücreler her iki boyaya geçirdir. Canlı hücreler her iki boyayı da dışarı atar. Apoptotik hücreler propidium iyodidi (PI) atar, ancak HOE'yi atamaz. Bu yöntem zamana bağlıdır.

Hücreler boyama başlamadan önce fiksasyondan sonra %100 soğuk metanol eklenmiş ve 20 dakika oda sıcaklığında bekletilmiştir. Metanol çekildikten sonra hücreler fosfat tuzu solüsyonu (Phosphate Buffer Saline, PBS) ile 3 kez yıkanmıştır. Daha sonra 15 dakika 37 derecede HOE boyası (5 µg/mL) uygulanmıştır. Boyamadan sonra hücreler yine 3 kez PBS ile yıkanmıştır. Mikroskopiden hemen önce PI (50 µg/mL) uygulanmıştır. Hücreler bir Olympus BHZ, RFCA mikroskop (Japonya) altında, 330 nm eksitasyon dalga boyu ve 420 nm bariyer filtrede incelenmiştir (10). Beş farklı alanda en az 200 hücre sayıları değerlendirilmeler yapılmıştır.

Değerlendirmeler şöyle yapılmıştır:

1. Canlı hücreler: Normal çekirdek, mavi/yeşil soluk kromatin,

2. Apoptotik hücreler:

(erken apoptoz): Çekirdek içinde kromatin yoğunlaşması ve bozulmamış çekirdek sınırları ile hayli yoğun parlak mavi/yeşil kromatin;

(geç apoptoz): Hiçbir PI ile boyanmamış olduğu için bozulmamış bir sitoplazmik membran içinde çekirdeğin daha küçük cisimlere ayrıılması,

3. Nekrotik hücreler:

(erken nekrotik hücreler): Dağılmamış bir çekirdek, hasara uğramış bir sitoplazmik membran ve büyümüş kırmızı bir çekirdek,

(geç nekrotik hücreler): Sitoplazma kaybolmuş ve hasara uğramış/bozulmuş çekirdek membranı ve parlak kırmızı boyanmış, biraz yoğunlaşmış çekirdek.

Nitrit Ölçümü

Griess Ayracı ile nitrit olarak ölçülmüştür. Nitrit, nitrik oksidin hızlı oksidasyonu sonucunda oluşmaktadır. 96 gözlü bir mikrotitre plajında, alınan her 100µL örnek (her kuyucukta başlangıç hücre sayısı 1×10^4 'tür) 100µL Griess Ayracı (eşit volümde %0.2 naftilendiamin dihidroklorid ve %2 sulfanilamid, %5 fosforik asit içinde hazırlanır) ile karıştırılarak 10 dakika oda sıcaklığında bekletildikten sonra, mikroplak o-kuyucuda (540 nm) okutulmuştur. Standart olarak sodyum nitrit kullanılmıştır (0128 µM) (11).

İstatistik Analiz

Nitrit değerlendirmeleri ve apoptotik deneyler en az 3 bağımsız deney ile değerlendirilmiştir. Her deney grubunda 8 kuyucuk çatışılmıştır (minimum n=24). İki deney grubu arasındaki karşılaştırma iki-yönlü t-test ile $p < 0,05$ olarak anlamlı kabul edilmiştir. Sonuçlar deney ortalaması ± standart sapma olarak verilmiştir.

BULGULAR

HeLa Hücrelerinin Doza Bağlı Değişen Yaşayabilirliği

L-arg'in hücre ölümü üzerine anlamlı etkisi 0.5 mM konsantrasyondan sonra başlar ve doza bağlı olarak artar. H_2O_2 , yalnız kullanıldığından hücre ölümü üzerine anlamlı etkisi 0.004 mM konsantrasyonda başlar, doza bağımlı olarak

artar. L-arg, sabit konsantrasyonu 0.01mM olan H_2O_2 ile birlikte kullanıldığında hücre ölümü üzerine sinerjik etki gösterirler ve anlamlı etki 0.01 mM konsantrasyonda başlar. NO yanıtları L-NAME ile inhibe edilen grupta hücresel ölüm, yalnızca temel besleyici ortamda yaşatılan kontrol hücreleri ile aynı oranlardadır. Staurosporine (SS) ile oluşturulan sağlam grubunda hücresel ölümün anlamlı olarak etkilendiği konsantrasyon, 0.04 μM olarak saptanmıştır (Şekil 1).

HeLa hücrelerinde SS, L-arg, H_2O_2 ve L-NAME için hücresel proliferasyonu yaklaşık olarak %100 durdurucu konsantrasyonları (IC_{100}) içeren bir sitotoksite testi ile (MTT testi), doz-yanıt eğrileri çizilmiştir. HeLa hücrelerinin yaklaşık IC_{50} dozları SS, L-arg, H_2O_2 ve L-NAME için sırasıyla, 1.050 μM , 875 μM , 31 μM ve >500 μM olarak bulunmuştur. Buna göre, servikal karsinoma hücrelerinde, mikroçevrede ROT bulunuyorsa, 28 kez daha düşük konsantrasyonda L-arg kullanımı ile aynı sitotoksik etki elde edilebilmektedir (Tablo 1).

NO Donörü L-arg Aracılığı İle Oluşan Hücre Ölümünün Özellikleri

Canlı hücreler, Hoechst 33342 ve Propidium Iodide (HOE/PI) ile boyandıklarında, çekirdekleri olağan, mavi/yeşil soluk boyalı, düzgün kromatin yapıları olan bir morfoloji sergilerler (Şekil 2A). İki mM konsantrasyonda L-arg ile 24 saat süresince bekletilen HeLa hücrelerinde, morfolojik değişimler gözlenir (Şekil 2C). Apoptotik sürecin erken evresindeki hücrelerin çekirdek ve sitoplazma zarları sağlamdır. Ancak çekirdek içinde kromatin yoğunlaşması gözlenir. Hücreler 1 mM L-arg ile birlikte apoptoz uyarıcı etkisi bilinen SS (1 μM) ile beklendiğinde morfolojik göstergeler apoptozun geç evrelerini tanımlar (Şekil 2B). Apoptozun geç evresinde bulunan bu hücreler, sitoplazmik bir zar ile çevrilmiş küçük çekirdeksel yapılar olarak tanımlanan çekirdeksel parçalanmalar gösterirler. Buna karşın hücreler H_2O_2 var-

lığında, çok sayıda boşluk içeren, soluk, canlı hücrelere karşı daha küçük bir sitoplazma; tamamen sağlam bir çekirdek ile hasarlı bir sitoplazma zarı olarak belirgin nekrotik hücre morfolojisi sergilerler (Şekil 2D).

NO'nun Neden Olduğu Apoptotik Hücre Ölümü ve H_2O_2 Varlığı

Yirmi dört saat süresince 0.1 mM H_2O_2 ile oluşturulan oksijen radikallerinden zengin mikroçevre ortamında tutulan HeLa hücrelerinin $99.3 \pm 4.1\%$ 'ı ölmektedir. Bu hücrelerin $85 \pm 6.9\%$ 'u nekrotik yolla; $14 \pm 2.5\%$ 'i apoptotik yolla ölmektedir. NO donörü L-arg ile oluşturulan mikroçevrede aynı sürede daha az hücre ölmektedir; $66 \pm 9.2\%$. Ancak bu hücrelerin, $51 \pm 7.3\%$ 'ü apoptotik yolla, $15 \pm 0.8\%$ 'i nekrotik yolla ölmektedir. İki mM NO donörü L-arg ile oluşturulan NO'dan zengin ortamda gözlenen bu ölüm yüzdesi, ortama 0.01mM H_2O_2 eklenerek peroksinitritten zengin bir mikroçevre oluşturulduğunda, $98.3 \pm 1.7\%$ 'ye artar. Üstelik bu hücrelerin $69.3 \pm 5.7\%$ 'si nekrotik yolla ölmektedir (Şekil 3A).

NO ile Yönlendirilen SS ile Uyarılmış Apoptoz

HeLa hücrelerinde kimyasal bir ajan olan SS, apoptotik temelli bir sağlam yaklaşımına model oluşturmak üzere kullanılmıştır. Sağlam modeli grubunda hücrelerin $69.7 \pm 0.5\%$ 'ı ölmüş, bu ölümlerin $59.7 \pm 3.9\%$ 'i apoptotik

Tablo 1: Sağlam ve mikroçevre bileşenlerinin HeLa hücrelerindeki IC_{50} dozları*

Etken	Sitotik IC_{50} dozları (μM)
L-Arg	875
L-Arg + H_2O_2 (10 μM)	30
+ H_2O_2	31
Staurosporine	1.05
LNAME	>500

*Etkenlerin yoğunluğuna karşı yaşayan hücrelerin yüzdesi (% yaşayan hücre) olarak grafiklenen her bir değer en az üç ölçüm sonucunda türetilmiştir. Kontrol hücrelerine karşı, hücresel proliferasyon % 50 durdurucu etken konsantrasyon (μM) sitotoksik (IC_{50}) dozu olarak kaydedilmiştir.

yolla, $\%10\pm4.0$ 'ü nekrotik yolla olmuştür. Buna karşın NO zengin ortamda SS etkisi ile hücrelerin $\%90.3\pm4.5$ 'i ölmüş, bunların $\%80.0\pm7.7$ 'si apoptotik yolla olmuştur. Staurosporinin neden olduğu apoptotik hücre ölümü endojen kaynaklı NO üretimi uyarıldığında, %34 artmıştır. SS ile uyarılan apoptotik hücre ölümü, NOS inhibitörü L-NAME kullanılarak NO üretimi durdurulduğunda ancak %32 oranında engellenemektedir.

L-NAME ile gözlenen hücre ölümünde, kontrol hücrelerinden anlamlı bir farklılık gözlenmemiştir (Şekil 3A).

Hücre Dışı Bölgede NO Yanıtlarında Görülen Değişim ve Hücrelerin Nekrotik Ölüm Yüzdeleri

H_2O_2 ile mikroçevre ortamı, reaktif oksijen türleri (ROT) açısından zenginleştirildiğinde, hücre ölümleri ağırlıklı olarak ($\%85\pm6.9$) nekrotik yolla olmaktadır. Bu grubun hücre dışı nitrit içeriği $106\pm0.4 \mu M$ olarak saptanmış ve tüm gruplar içerisinde nitrit içeriği yanında nekrotik ölüm yüzdesi en yüksek grup olarak yer almıştır. L-arg ile endojen NO sentezi uyarılmış ve eş zamanlı olarak H_2O_2 uygulanan HeLa hücrelerinde, hücre dışı nitrit içeriği $103\pm0.4 \mu M$ olarak saptanmıştır. Nekrotik hücre ölümü H_2O_2 uygulanan gruptan daha düşük ($\%69.3\pm5.7$), ancak belirgin olarak baskın olan ölüm şeklidir. L-arg ile uyarılmış hücrelerde ($5.5\pm0.08 \mu M$), L-NAME ($5.45\pm0.1 \mu M$) ve kontrol grubuna ($5.8\pm0.08 \mu M$) yakın nitrit değerleri ölçülmüştür. Her üç grupta da apoptotik ölüm baskındır. SS ile eş zamanlı olarak L-arg ile uyarılan hücrelerde hücre dışı nitrit miktarı $7.2\pm0.57 \mu M$ olarak artmış ancak kontrol grubundan anlamlı farklılık saptanmamıştır. Bu grupta da apoptotik ölüm baskındır (Şekil 3B).

TARTIŞMA

Bu çalışmada, servikal karsinoma hücre dizisinde mikroçevresel değişikliğe yanıt

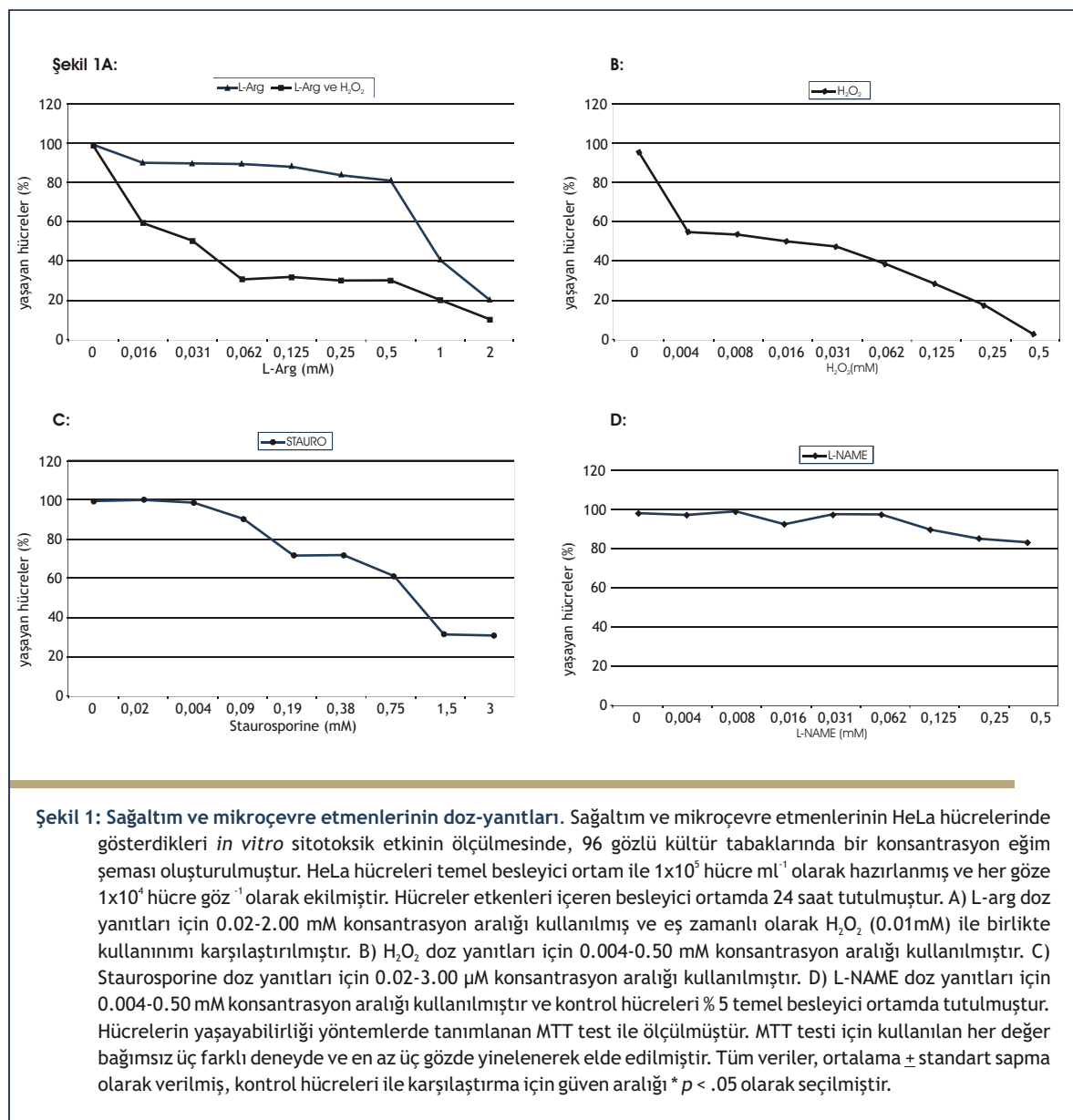
değerlendirilmiştir; L-arg, doz bağımlı olarak, apoptotik yolaktan hücre ölümünü uyarmıştır. ROT'tan zengin ve endojen NO'nun uyarıldığı bir çevrede, hücre ölümü yüksek olmuştur. NO'nun neden olduğu ölüm apoptotik yolaktan olurken, ROT+NO uyarılan ortamda nekrotik ölüm baskın bulunmuştur.

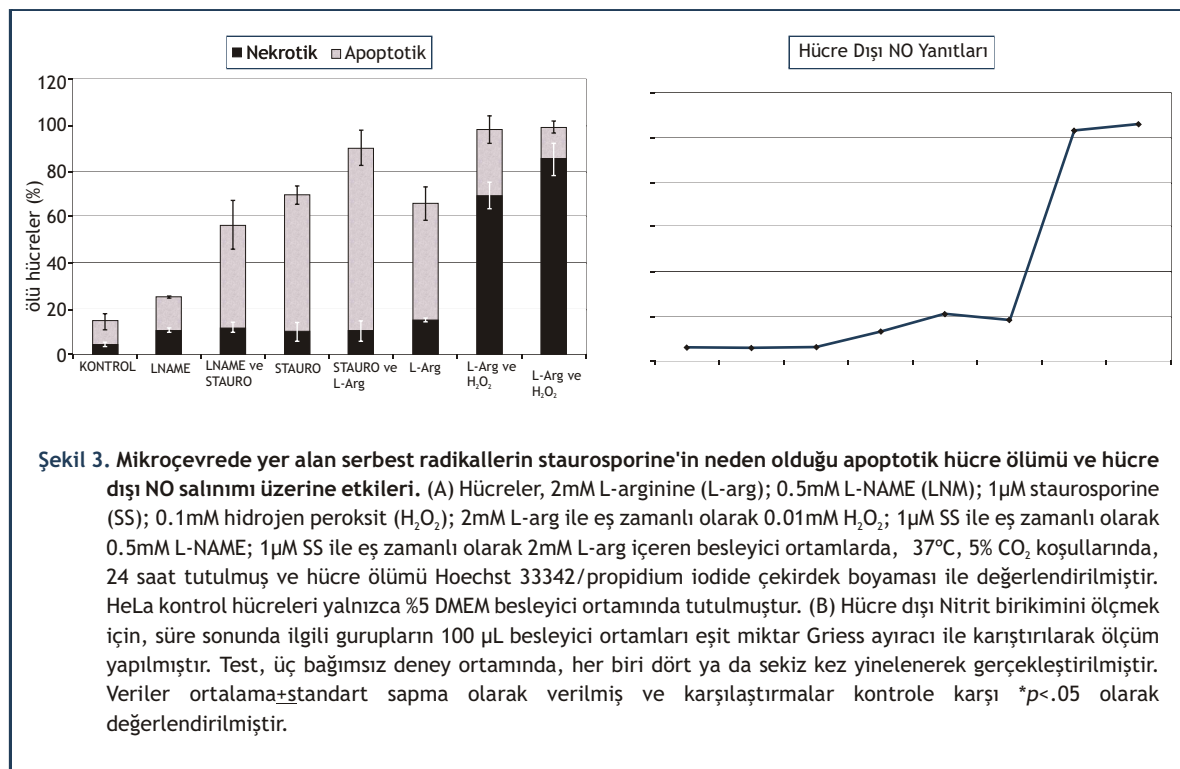
Bu sonuçlar, ortamındaki ROT varlığının hücre ölümünün yönünü değiştirdiğini göstermektedir. İnsan meme hücre dizilerinde, redoks homeostazı değiştiğinde nekrotik ölümün ve aynı zamanda NO sinyalleşme kapasitesinin arttığı, bunun yanında ROT oluşumu ve süperoksid anyon oluşumu ya da glutatyon azalmasının da hücreleri NO ile yönlendirilen apoptoz uyarısına duyarlı hale getirdiği bildirilmiştir (12-14). Buna ek olarak, lenfoma hücrelerinde apoptozu indükleyen kemoterapi sonrasında da ha dirençli kanser hücreleri oluşmuştur (15).

Bu çalışmada SS'nin önceden uygulanması, daha sonra oluşturulacak NO ile uyarılmış apoptozun etkisini arttırmıştır. Roche ve ark. NOS inhibitörlerinin *in vitro* ortamda melanoma hücrelerinde apoptozu baskıladığını bildirmiştirlerdir (15). Sade ve Sarin iNOS'dan yoksun T-hücrelerinin apoptozdan korunduğunu göstermişlerdir (16). Bunun yanında iyonize radyasyon ve nitrik oksit donörü insan servikal kanserine apoptoza karşı duyarlılığı neden olmuştur (17).

Yine bu çalışmada artan SS'nin endojen NO ile birlikte apoptotik hücre ölümünü artttığı ve NOS inhibitörü kullanılarak NO etkisinin azaltılmasının SS'nin etkisini de azalttığını gösterilmesi, NO'nun, bu süreçte rol aldığıını ancak tek neden olmadığını düşündürmektedir.

Kültür ortamında biriken nitrit olasılıkla nekrotik hücre ölümüne bağlıdır, çünkü nekrotik ölümde bütün hücre içi bileşenler hücre dışı ortama dökülürler. Ayrıca ROT da iNOS ekspresyonunu arttırmır (16). Bu durumda daha ileri çalışmalar gereklidir. NO'nun biyoregülatör rolü daha önceki çalışmalarda vurgulanmıştır





Şekil 3. Mikroçevrede yer alan serbest radikallerin staurosporine'in neden olduğu apoptotik hücre ölümü ve hücre dışı NO salımı üzerine etkileri. (A) Hücreler, 2mM L-arginine (L-arg); 0.5mM L-NAME (LNM); 1µM staurosporine (SS); 0.1mM hidrojen peroksit (H_2O_2); 2mM L-arg ile eş zamanlı olarak 0.01mM H_2O_2 ; 1µM SS ile eş zamanlı olarak 0.5mM L-NAME; 1µM SS ile eş zamanlı olarak 2mM L-arg içeren besleyici ortamlarda, 37°C, 5% CO_2 koşullarında, 24 saat tutulmuş ve hücre ölümü Hoechst 33342/propidium iodide çekirdek boyaması ile değerlendirilmiştir. HeLa kontrol hücreleri yalnızca %5 DMEM besleyici ortamında tutulmuştur. (B) Hücre dışı Nitrit birikimini ölçmek için, süre sonunda ilgili gurupların 100 µL besleyici ortamları eşit miktar Griess ayıracı ile karıştırılarak ölçüm yapılmıştır. Test, üç bağımsız deney ortamında, her biri dört ya da sekiz kez yinelenerek gerçekleştirilmiştir. Veriler ortalama+standart sapma olarak verilmiş ve karşılaştırımlar kontrole karşı *p<.05 olarak değerlendirilmiştir.

(18,19). Daha önceki bir çalışmamızda NO'nun çevredeki redoks potansiyeline bağlı olarak benzer bir süreci farklı yolaklara yönlendirebildiği gösterilmiştir (20).

NO ile yönlendirilen hücre ölümü, birçok tümör-çevre etkileşimi de içine alacak şekilde, karmaşık bir süreçtir. Reaktif oksijen ve azot metabolitlerinin etkileşimleri hücresel mikroçevrede sofistik bir sisteme dayanmaktadır(21). Bundan başka bu moleküllerin etkileşimi, iki temel sinyal yolu ile sonuçlanır. Bunlar HOCl/hidroksil radikalleri ve NO/peroksinitrit yolaklarıdır. Ek olarak nitril kloritin etkilenmesi de alternatif bir yolak olarak ele alınabilir (22,23). Serbest radikallerin aşırı miktarları peroksinitrite ve diğer güçlü oksidan metabolitlere neden olsa da metabolitler arası farklılığı açıklayan bir moleküler model henüz tanımlanmamıştır. Bununla birlikte, oksijen ve azot metabolitlerinin etkileşiminin

birçok doğal anti tümör sistemi tarafından kullanıldığı gösterilmiştir (23, 24).

Kanser sağlığımızda, organ mikroçevresinin yönetimi gelecekteki çalışmalarla yön verebilir. Tümör mikroçevresi içinde NO'yu hedef alan çalışmalar, kanser sağlığımızda daha uygun, daha az zararlı ve etkili sağaltıcıları kurgulayabilir ve yeni sağaltım stratejilerinin gelişmesine olanak tanıyabilir.

Teşekkür

Bu çalışmada Nitrit değerlendirmelerindeki katkıları için Doç. Dr. Hüseyin Baskın'a, makalenin yazımındaki değerli eleştirileri nedeniyle Prof. Dr. İ.Hakkı Bahar'a teşekkürlerimizi sunarız.

Bu çalışma Dokuz Eylül Üniversitesi, Bilimsel Araştırma Desteği Fonu tarafından desteklenmiştir (Proje No: 2001 -0928.01.01.01).

KAYNAKLAR:

1. Sen S, D'Incà M. Apoptosis: Biochemical events and relevance to cancer chemotherapy. *FEBS Letters*, 1992; 307:122-129.
2. Mohr S, McCormick TS, Lapeña EG. Macrophages resistant to endogenously generated nitric oxide-mediated apoptosis are hypersensitive to exogenously added nitric oxide donors: Dichotomous apoptotic response independent of caspase 3 and reversal by the mitogen-activated protein kinase (MEK) inhibitor PD 098059. *Proc Natl Acad Sci*, 1998; 95: 5045-5050.
3. Dröge W. Free radicals in the physiological control of cell function. *Physiol Rev*, 2002; 82: 47-95.
4. Brüne B, Von Knethen A, Sandau KB. Nitric oxide and its role in apoptosis. *Eur J Pharmacology*, 1998; 351: 261-272.
5. Cookson MR, Ince PG, Shaw PJ. Peroxynitrite and hydrogen peroxide induced cell death in the NSC34 neuroblastoma X spinal cord cell line: role of poly (ADP-Ribose) polymerase. *Journal of Neurochemistry*, 1998; 70: 501-508.
6. Melkova Z, Lee SB, Rodriguez D, Esteban M. Bcl-2 prevents nitric oxide-mediated apoptosis and poly (ADP-ribose) polymerase cleavage. *FEBS Letters*, 1997; 403: 273-278.
7. Brüne B: Nitric oxide. NO apoptosis or turning it ON? *Cell Death and Differentiation*, 2003; 10: 864-869
8. Oh-Hashi K, Maruyama W, Isobe K. Peroxynitrite induced GADD34, 45, and 153 via p38 MAPK in human neuroblastoma SH-SY5Y cells. *Free Radical Biology and Medicine*, 2001; 30: 213-221.
9. Xie K, Huang S. Contribution of nitric oxide-mediated apoptosis to cancer metastasis inefficiency. *Free Radical Biology and Medicine*, 2003; 34: 969-986.
10. Shacter E, Williams JA, Hinson RM, Senturker S, Lee YJ. Oxidative stress interferes with cancer chemotherapy: inhibition of lymphoma cell apoptosis and phagocytosis. *Blood*, 2000; 96: 308-313.
11. Baskin H, Ellerman-Eriksen S, Lovmand J, Mogensen CS. Herpes simplex virus type 2 synergizes with interferon-gamma in the induction of nitric oxide production in mouse macrophages through autocrine secretion of tumor necrosis factor-alpha. *J Gen Virol*, 1997; 78: 195-203.
12. Brune B. The intimate relation between nitric oxide in apoptosis and cell survival. *Antioxid Redox Signal*, 2005; 3-4: 497-507.
13. Steinmann M, Moosmann N, Schimmel M, Gerhardus C, Bauer G. Differential role of extra-and intracellular superoxide anions for nitric oxide-mediated apoptosis induction. *In Vivo*, 2004; 18: 293-309.
14. Mc Keague AL, Wilson DJ, Nelson J. Staurosporine-induced apoptosis and Hydrogen peroxide-induced necrosis in two human breast cell lines. *British Journal of Cancer*, 2003; 88: 125-131.
15. Rocha M, Kruger A, Van Rooijen N, Schirrmacher V, Umansky V. Liver endothelial cells participate in T-cell-dependent host resistance to lymphoma metastasis by production of nitric oxide in vivo. *Int J Cancer*, 1995; 63: 405-411.
16. Sade H and Sarin A. Reactive oxygen species regulate quiescent T-cell apoptosis via the BH3-only proapoptotic protein BIM. *Cell Death and Differentiation*, 2004; 11:416-23.
17. Park IC, Woo SH, Park MJ et al. Ionizing radiation and nitric oxide donor sensitize Fas-induced apoptosis via up regulation of Fas in human cervical cancer cells. *Oncol Rep*, 2003; 10: 629-633.
18. Chung HT, Pae HO, Choi BM, Billiar TR. Nitric oxide as a bioregulator of apoptosis. *Biochem Biophys Res Commun*, 2001; 282: 1075-1079.
19. Heigold S, Sers C, Bechtel W, Ivanovas B, Schafer R, Bauer G. Nitric oxide mediates apoptosis induction selectively in transformed fibroblasts compared to non transformed fibroblasts. *Carcinogenesis*, 2002; 23: 929-941.
20. Baskin Y, Baskin H, Guner G, Tuzun E, Oto O. The inversely proportional relation between nitric oxide and lipid peroxidation in atherosclerotic plaque formation in human. *Int J Cardiol*, 2003; 9: 53-57.
21. Tews DS. Cell death and oxidative stress in gliomas. *Neuropathology and Applied Neurobiology*, 1999; 25: 272-284.
22. Toomey D, Condon C, Wu QD et al. TGF-beta1 is elevated in breast cancer tissue and regulates nitric oxide production from a number of cellular sources during hypoxia reoxygenation injury. *Br J Biomed Sci*, 2001; 58: 177-183.
23. Bauer G. Reactive oxygen and nitrogen species: efficient, selective, and interactive signals during intercellular induction of apoptosis. *Anticancer Res*, 2000; 20: 4115-39.
24. Engelmann I, Bauer G. How can tumor cells escape intercellular induction of apoptosis? *Anticancer Res*, 2000; 20: 2297-306.